

**التخسيص الجزيئي لفايروس تجعد و اصفرار اوراق الطماطة (*Tomato yellow leaf curl virus*) و اختبار استجابة بعض التراكيب الوراثية لنبات الطماطة ضد الفايروس المعزول (*Solanum lycopersicum L.*)**

عقيل نزال العابدي<sup>1</sup> مالك حسن كريم<sup>2</sup> كريم عبدالحسين الشجيري<sup>3</sup> علاء طالب سالم<sup>1</sup>

<sup>1</sup> قسم وقاية النبات- كلية الزراعة-جامعة كربلاء

<sup>2</sup> قسم وقاية النبات- كلية الزراعة-جامعة المثنى

<sup>3</sup> قسم الانتاج النباتي-المعهد التقني المسيب-جامعة الفرات الاوسط

البريد الإلكتروني: [aqlabedy@yahoo.co.uk](mailto:aqlabedy@yahoo.co.uk)

**المستخلاص:**

نفذت هذه الدراسة خلال الموسم الزراعي 2015-2016 في البيت البلاستيكي و مختبر فايروسات النبات في كلية الزراعة- جامعة كربلاء بهدف عزل و تشخيص فايروس تجعد و اصفرار اوراق الطماطة (*Tomato yellow leaf curl virus, TYLCV*) و مقاومته بأسعماله بأسعماله (Polymerase chain reaction, PCR) و تحديد تتابع الفيروس باستخدام تفاعل البلمرة المتسلسل (PCR) و تحديد تتابع القواعد النيتروجينية (Nucleotide sequence).

اظهرت النتائج استجابة نباتات الطماطة (صنف سوبر ماريوند) للاصابة الفايروسية و بأعراض ظهرت في البداية بشكل تجعد و اصفرار للأوراق الحديثة النمو و التي تطورت فيما بعد إلى اعراض تجعد شديد و اصفرار شملت بقية اوراق النبات مع ملاحظة تقرم شديد في النباتات المصابة. كما اظهرت نباتات الفلفل اعراض مرضية بهذه تجعد واضح في الاوراق القيمة و مع استطالتها و بفارق ملحوظ عن النباتات غير المصابة بنفس الفايروس.

بينت النتائج ايضا حساسية نباتات الفاصوليا و الباميا للاصابة بفايروس تجعد و اصفرار اوراق الطماطة (TYLCV) دون ظهور اي اعراض مرضية مؤكدين وجود الفايروس بواسطة تفاعل البلمرة المتسلسل (PCR). كما وجد ان نباتات القطن و المنطاد و الزربيخ غير حساسة للفايروس مع اثبات غياب الفايروس بواسطة تفاعل البلمرة المتسلسل (PCR).

اثبت تحليل التتابع النيوكلوتيدي لجزمة الحامض النووي الفايروسي (634bp) المضاعفة بواسطة تفاعل البلمرة المتسلسل (PCR) و باستخدام برنامج BLAST Basic Local Alignment Search و مقارنته مع البيانات المتوفرة في قاعدة المركز الوطني لمعلومات التقنية الحيوية (National Tool) و تشابه السلالة المعزولة و بنسبة 100% مع السلالتين A1MA (GenBank accession numbers: KT961706.1 and A2MA (GenBank accession numbers: KT961705.1) المشخصة مسبقا و بنسبة 99% مع السلالة A3MA (GenBank accession numbers: KT961704.1) في حين كانت اكثرها تبعا (93%) عن العزلات الايرانية

اما (GenBank accession numbers: EU834064.1 و EU834059.1 و JQ928345.1) . كما بينت النتائج حساسية جميع التراكيب الوراثية لنبات الطماطة المختبرة ضد فيروس تجعد و اصفرار اوراق الطماطة (TYLCV).

## **Molecular identification of *Tomato yellow leaf curl virus* (TYLCV) and testing the response of some tomato (*Solanum lycopersicum* L.) genotypes against the isolated virus**

**Aqeel N. AL-Abedy<sup>1</sup> Malik H. Kareem<sup>2</sup> Kareem A. Al-Shujayri<sup>3</sup>  
Alaa T. Salim<sup>1</sup>**

**<sup>1</sup>Plant Protection Department-Agriculture Faculty-Karbalaa University**

**<sup>2</sup>Plant Protection Department-Agriculture Faculty-AL-Muthanna University**

**<sup>3</sup>Department of Plant Production-Technical Institute-Musayyib-AL-Furat Al-Awsat University**

**Corresponding author: aqlabedy@yahoo.co.uk**

### **Abstract:**

This study was conducted during the agricultural season 2015-2016 in the green house and the Plant Virology laboratory belonging to the College of Agriculture at Karbala University with the aim of isolation and characterization of *Tomato yellow leaf curl virus* (TYLCV) and its resistance using some tomato genotypes (Nicker Son, Ginan, Nicker Son, Flat kimia T6m, Wardeh, Ghazalah, Faten, Alaziza, Selmoren, Hybrid Early Lady F1 and Mugestem).

The virus was identified using some indicator plants such as tomato plants (*Solanum lycopersicum* L.), pepper (*Capsicum annuum* L.), goosefoot (*Chenopodium amaranticolor* (Coste and Reyn)), okra (*Abelmoschus esculentus* L. (Moench)), beans (*Phaseolus vulgaris*), airship (*Physalis floridana* L.) and cotton (*Gossypium hirsutum* L.). TYLCV was also identified using the polymerase chain reaction technique (PCR) and sequencing the PCR-amplicons.

The results, of inoculating the above mentioned indicators plants, showed that tomato plants (super marimond) infected with TYLCV exhibited typical symptoms of crinkling and yellowing of newly growth leaves which later developed into symptoms of severe wrinkling and yellowing to encompass the rest of the plant leaves with severe stunting in infected plants. Moreover, the results also showed the sensitivity of beans and okra plants to TYLCV without inducing any kind of symptoms. However, the presence of the virus was detected by PCR. It was also found that cotton and airship plants were found to

be susceptible to the virus that was detected by PCR in all TYLCV-inoculated plants.

Sequencing of the PCR-amplified fragments and employing the BLAST program (Basic Local Alignment Search Tool) revealed that the TYLCV isolate characterized in this study gave a similar percentage of 100% with the virus strains A1MA and A2MA (GenBank accession numbers: KT961706.1 and KT961705.1) and 99% with the viral strain A3MA (GenBank accession numbers: KT961704.1), while the most divergence (93%) was noticed with the Iranian isolates (JQ928345.1 and EU834059.1 and GenBank accession numbers: EU834064.1). The results also showed the susceptibility of all tomato genotypes tested against TYLCV.

### غير تكاثرية (Bemisia tabaci) بطريقة دورانية باقية

غير تكاثرية (19 و 21).

استخدمت طرائق عدة لتشخيص الفايروبات النباتية كاستخدام الاختبارات المصلية (Serological tests) في تشخيص الفايروس التي ثبتت قلة حساسيتها و عدم مقدرتها على التفريق بين السلالات المختلفة لفايروس تجعد و اصفرار اوراق الطماطة (TYLCV) قياسا بالاختبارات الجزيئية (Molecular tests) (Polymerase chain reaction, PCR) منها تفاعل البلمرة المتسلسل (16).

كما استخدمت ايضا وسائل اخرى لمنع او تقليل الاضرار الناجمة عن الاصابة بفايروس تجعد و اصفرار اوراق الطماطة (TYLCV) و من بين تلك الطرق هي استخدام المبيدات الكيميائية التي تكمن فائدتها في تقليل انتشار الفايروس في حقول الطماطة عن طريق تقليل الكثافة العددية لحشرة الذباب الابيض الا انها لا تعد الطريقة الاكفاء في مقاومة الفايروس نظرا لأثارها السلبية للبيئة و صحة الانسان و النبات و الحيوان فضلا عن دورها في ظهور صفة المقاومة لدى الافة (16). اصبحت الحاجة ملحة الى ايجاد مصادر وراثية لمقاومة الفايروبات النباتية و ادخالها في برامج تربية النبات الحديثة لإنتاج صنف يحمل صفة واحدة او اكثر لمقاومة فايروس او عدد من فايروبات النبات (15 و 20). قام Camara و اخرون (11) بتنفيذ برنامج تربية لبعض اصناف الطماطة (40 صنف) ذات اصول وراثية

### المقدمة (Introduction)

تعد الطماطة (Solanum lycopersicum L.) واحدة من اهم محاصيل الخضر لما تمتلكه ثمارها من قيمة غذائية عالية فهي غنية بالفيتامينات مثل فيتامين A و C و العناصر المعدنية مثل الحديد والفسفور, كما انها تستهلك طازجة فضلا عن دخولها في كثير من الصناعات الغذائية (12 و 14). صاحب انتشار زراعة الطماطة بغير مواسمها و باستخدام مختلف الطرق الحديثة و التقليدية ظهور الكثير من المسببات المرضية و منها فايروس تجعد و اصفرار اوراق الطماطة (Tomato yellow leaf curl virus, Geminiviridae, Geminivirus, TYLCV) بعد الفايروس (TYLCV) من اكثر الفايروبات انتشارا على محصول الطماطة في العراق مسببا خسائر قد تصل الى 100% في الزراعة المكشوفة و المحمية و خصوصا عند حدوث الاصابة في المراحل المبكرة لنمو النبات (شفيق, 1983).

للفايروس جسيمة متعددة الاوجه

(30×20 Nanometer, غير مغلفة و يمتلك جينوم مؤلف من حمض نووي منقوص الأوكسجين مفرد الخليط دائري (Circular ssDNA), بحجم يتراوح بين 3000-2500 قاعدة نايتروجينية (Al-Nitrogenous bases) بين Kuwaiti و اخرون, 2013). ينتقل فايروس TYLCV بتجعد و اصفرار اوراق الطماطة (TYLCV) بكفاءة عالية بواسطة حشرة الذباب البيضاء

عزل و تشخيص فايروس تجعد و اصفار او راق الطماطة (TYLCV) جزئياً باستخدام تفاعل البلمرة المتسلسل (PCR) و تحديد التابع النيوكلوتيدي (Nucleotide sequence) لسلالة الفايروس المعزولة. اختبار استجابة بعض التراكيب الوراثية لنبات الطماطة للفايروس المعزول (TYLCV) لتحديد حساسيتها و مقاومتها.

(viruliferous whiteflies) المنمة سابقاً على نباتات البانجوان، الى نباتات طماطة (صنف سوبر ماريوند) مصاب بالفايروس المراد تشخيصه و موضوع في صندوق خشبي ابعاده  $50 \times 40 \times 40$  سم مغطى بقماش الململ. اعطيت الحشرات فترة تغذية لمدة 24 ساعة، بعدها تم تلقيح نباتات طماطة بعمر اربعة اوراق حقيقة و بمعدل 15 حشرة /نبات موضوعة في ثلاثة صناديق خشبية (ابعادها  $50 \times 40 \times 40$  سم) كل منها يحتوي على اربعة نباتات. تركت الحشرات الحاملة للفايروس لمدة 48 ساعة لغرض اتمام عملية التلقيح. بعدها تم رش جميع النباتات بالمبيد الكيمياوي اميجراد (Imidacloprid) و نقلها بعد حوالي ساعتين الى بيت ابعاده ( $2.5 \times 4 \times 5$  م) مصنوع من طبقتين من قماش الململ و موجود داخل البيت البلاستيكي. تم متابعة النباتات بشكل يومي لتسجيل بداية ظهور و تطور الاعراض المرضية الناتجة من الاصابة الفايروسية. اختبرت جميع نباتات التجربة بواسطة اختبار تفاعل البلمرة المتسلسل (PCR) و بأتبع طريقة العمل الموصوفة لاحقاً.

تشخيص الفايروس باستعمال النباتات الكاشفة زرعت بذور بعض النباتات الكاشفة (جدول 1) التي حصل عليها من معهد البحوث جيمز هاتن (James Hutton Institute)- مدينة دندي- المملكة المتحدة في سنادين بلاستيكية ابعادها  $30 \times 8$  سم و الحاوية على تربة مزيجية معقمة و بنموس (1:1). بعد بلوغ النباتات 3-4 اوراق حقيقة، تم تفريذ النباتات و نقلها الى سنادين اكبر حجماً لاستخدامها في تجربة تشخيص الفايروس.

مختلفة و تقييم استجابتها للإصابة بفايروس تجعد و اصفار او راق الطماطة، كاشفاً ان من بينها 12 صنف ذات مقاومة عالية، و 16 صنفاً كان ذات حساسية عالية اما باقيه الاصناف فكانت متوسطة المقاومة للفايروس. نظراً لأهمية محصول الطماطة و الاضرار الاقتصادية المنسوبة عن فايروس تجعد و اصفار او راق الطماطة (TYLCV)، فقد هدفت هذه الدراسة الى:

#### المواد و طرائق العمل مصدر الفايروس و نقلة بواسطة حشرات

**الذباب الابيض (*B. tabaci*)**  
جمعت نباتات طماطة ظهرت عليها اعراض اصابة فايروسيه متمثلة بتتجعد و التقاد الاوراق مع تقرن شديد من احد المزارع الصحراوية الواقعة في محافظة كربلاء خلال الموسم الزراعي 2015-2016. زرعت جميع النباتات في سنادين بلاستيكية ابعادها  $21 \times 21$  سم و نقلت الى البيت البلاستيكي التابع لكلية الزراعة- جامعة كربلاء بعد وضعها في صناديق خشبية ابعادها  $60 \times 40 \times 40$  مغطاة بقماش الململ لغرض تتميّتها و اجراء بعض التجارب اللاحقة عليها.

لغرض نقل الفايروس لنباتات سليمة حساسة للفايروس، جمعت عدد من بالغات حشرات الذبابة البيضاء من حقول البانجوان التابعة لكلية الزراعة-جامعة كربلاء بواسطة شافطة يدوية (Hand Aspirator) و تم تتميّتها على نباتات بانجوان (صنف برشلونه) سليمة موضوعة في قفص خشبي ابعاده  $50 \times 50 \times 120$  سم و ذات قاعدة خشبية و جوانبه الخمسة الاخرى مغطاة بطبقتين من قماش الململ لمنع دخول او خروج الحشرات من الصندوق. اخذت عينة من حشرات الذبابة البيضاء (*B. tabaci*, Biotype: B) بعد حفظها في الایثانول (%) الى مختبر علم الحشرات في كلية العلوم-جامعة نيوكاسل-المملكة المتحدة لغرض تشخيصها على اساس الحامض النووي.

تم نقل حوالي 300 حشرة بالغة من حشرات الذباب الابيض غير الحاملة للفايروس (Non-

**جدول 1: النباتات الكاشفة المستعملة في تشخيص الفايروس المعزول من نباتات الطماطة النامية في بعض مناطق المنطقة الصحراوية في محافظة كربلاء.**

**Table 1: Indicator plants used in identification of the virus isolated from tomato plants growing in some areas of the desert region in Karbala province.**

النبات الكاشف	العائلة	الاسم العلمي
الطماطة	Solanaceae	<i>Solanum lycopersicum</i>
الفلفل	Solanaceae	<i>Capsicum annuum</i>
الزربيخ	Solanaceae	<i>Chenopodium amaranticolor</i>
الباميما	Malvaceae	<i>Abelmoschus esculentus</i>
الفاصوليا	Fabaceae	<i>Phaseolus vulgaris</i>
المنطاد	Solanaceae	<i>Physalis floridana</i>
القطن	Malvaceae	<i>Gossypium hirsutum</i>

ظهور و تطور اي اعراض مرضية. بعد مرور 35 يوماً من التأقيح، تم جمع عينات ورقية من كل نبات و فحصها بواسطة اختبار تفاعل البلمرة المتسلسل للتأكد من وجود الفايروس. تشخيص الفايروس باستخدام تفاعل البلمرة المتسلسل (PCR)

استخلاص الحامض النووي باستخدام العدة (Cat. No: FAPGK001) المجهزة من قبل شركة Favorgen (Favorgen) تايوان- الصين، و بتأطير الخطوات الموصوفة من قبل الشركة المصنعة. تم تقدير تركيز و نقاوة الحامض النووي DNA باستخدام جهاز قياس الطيف الضوئي (Spectrophotometer) تحت الطول الموجي 260 و 280 نانوميتر لمعرفة تركيز الحامض النووي من DNA خلال المعادلة الآتية:

TTGACCAAGATTTT  
10 pmol (ACACTTATCC)  
مايكروليتر من الحامض النووي. بعد وضع جميع المكونات المطلوبة لتفاعل في الانبوبة المجهزة من قبل الشركة المصنعة و اكمال الحجم بالماء (Nuclease free water) إلى 20 مايكروليتر تم مضاعفة الحامض النووي الفايروسي باستخدام ظروف تفاعل البلمرة المتسلسل (PCR) المبينة في جدول 2.

تم اطلاق حوالي 300 حشرة من الذباب الابيض غير الحاملة للفايروس على نبات طماطة مصاب بالفايروس تحت التشخيص و تركت للتغذية لمدة 48 ساعة ثم نقل عدد من الحشرات بواسطة شافطة يدوية الى ثلاثة صناديق خشبية كل منها يحتوي ثلاثة نباتات طماطة (صنف سوبر ماريموند) و بمعدل 15 حشرة/نبات. نفذت معاملة مقارنة بتأطير نفس الخطوات السابقة باستثناء تغذية الحشرات على نبات طماطة سليمة. نقلت جميع الصناديق الى البيت البلاستيكي و تركت للتغذية لمدة 48 ساعة، ثم رشت جميع النباتات بالمبيد اميغارد (Imidacloprid) لقتل جميع الحشرات، و بعد حوالي ثلاثة ساعات تم نقل جميع النباتات الى بيت مصنوع من قماش الململ (حاوي في احد جوانبه على باب مزود بسحاب للتحكم بفتحه وغلقه). تم مراقبة النباتات بشكل يومي لتسجيل

اجراء تفاعل البلمرة المتسلسل (PCR) اجري اختبار تفاعل البلمرة المتسلسل (PCR PreMix, Cat. No. K-2012) المجهزة من قبل شركة Pioneer الكورية المنشأ. نفذ تفاعل البلمرة المتسلسل بحجم 20 مايكروليتر و الحاوية على 1 مايكروليتر من كل البايد الامامي (F-TTTATTG) و الخلفي (R-TAGTTGAAG)

**جدول 2: خطوات و ظروف تفاعل البلمرة المتسلسل (PCR) المستخدمة لمضاعفة الحامض النووي لفايروس تجعد و اصفرار اوراق الطماطة (TYLCV).**

**Table 2: Steps and conditions of polymerase chain reaction (PCR) used for amplifying DNA of TYLCVi isolated.**

عدد الدورات	الوقت	درجة الحرارة (م°)	خطوات تفاعل البلمرة المتسلسل
1	10 دقائق	94	Initial denaturation
35	30 ثانية	94	Final denaturation[
	20 ثانية	52	Annealing
	30 ثانية	72	Initial extension
1	30 ثانية	72	Final extension
-		4	Hold

جمعت من بعض المزارع الواقعة في محافظة كربلاء) مع البوادي الامامية و الخلدية التي استخدمت لمضاعفة حزمة الحامض النووي الفايروسي الى شركة Macrogen الكورية لغرض تحديد تسلسل الحامض النووي لعزلة الفايروس.

لمعرفة نوع السلالة الفايروسيه الموجودة في مزارع حقول الطماطة و كذلك لمعرفة درجة التشابه و الاختلاف في التتابع النيوكليوتيدي للحامض النووي لعزلة فايروس تجعد واصفرار اوراق الطماطة المشخصة في هذه الدراسة و العزلات الاخرى المشخصة عالميا، ادخل تسلسل الحامض النووي في قاعدة البيانات المتوفرة في المركز الوطني لمعلومات التقنية الحيوية (National Center for Biotechnology Information, NCBI) باستخدام برنامج الـ Basic BLAST (Basic Local Alignment Search Tool) (23).

اختبار استجابة بعض التراكيب الوراثية لنبات الطماطة ضد فايروس تجعد و اصفرار اوراق الطماطة (TYLCV) تم اختبار عشرة تراكيب وراثية لنبات الطماطة بهدف تحديد استجابتها لفايروس تجعد و اصفرار اوراق الطماطة (جدول 3). زرعت بذور الطماطة بشكل منفصل في اطباق فلين

حضرت طبقة هلام الاكاروز (Agarose gel) بتركيز 1% في محلول الداري (Tris-boric acid EDTA 1×TBE buffer). اضيف 5 ميكروليلتر من صبغة الـ Ethidium bromide بعد انخفاض درجة محلول (40-45 م°). تم الكشف عن نواتج الـ PCR بالترحيل الكهربائي على طبقة هلام الاكاروز المصبغة سابقا بمادة الـ Ethidium bromide. كما تم اضافة 5 ميكروليلتر من معلم الحامض النووي (1 Kbp DNA ladder marker) الى الحفرة الموجودة في الجانب اليسير من العينات المضافة لغرض تحديد احجام الحامض النووي المضاعف. أوصلت أقطاب الجهاز بالتيار الكهربائي و شغل مجهز الطاقة (Power supply) على 100 فولت. بعد اكمال عملية ترحيل العينات، فحشت طبقة هلام الجل الحاوية على حزم الحامض النووي تحت الاشعة فوق البنفسجية (UV transillumination) و اخذت صور لها.

تحليل تسلسل قواعد الحامض النووي (DNA) لعزلة فايروس تجعد و اصفرار اوراق الطماطة (TYLCV) تم ارسال ناتج التفاعل PCR-amplified (المضاعف من الحامض النووي fragments) المسخلص من عينات نباتات طماطة (DNA)

منفرد في اصص بلاستيكية ابعادها ١١×١٣ سم  
لأستخدامها في التجارب اللاحقة.

حاوية على بتموس و بعد حوالي ١٥ يوم من  
الانبات فرقت النباتات و زرع كل منها بشكل

**جدول 3: التراكيب الوراثية لنبات الطماطة ضد فيروس تجعد واصفار او راق الطماطة .(TYLCV)**

**Table 3: Genotypes of tomato plant tested against TYLCV.**

البلد	الشركة المنتجة	اسم الهجين/ الصنف	ت	البلد	الشركة المنتجة	التركيب الوراثي لنبات الطماطة	ت
USA	Cal Am seed	Nicker Son	6	Lebanon	Alh seed	Flat kimia T6m	1
USA	Cal Am seed	Wardeh	7	Kenya	Western seed	Alaziza	2
China	Hi-tech	Ghazalah	8	USA	Petosee d	Hybrid Early Lady F1	3
USA	Petosee d	Ginan	9	USA	Petosee d	Selmoren	4
Netherland	Huizer	Faten	10	USA	Petosee d	Mugestem	5

اجراء عملية التسميد باستخدام سماد NPK (2 غم/ لتر) اسبوعيا. كما اجريت عملية المكافحة بالمبيد اميغارد (Imidacloprid) كل اسبوع لضمان عدم وجود الحشرات الناقلة للفايروس. تم متابعة النباتات بشكل يومي مع تسجيل اي ظهور وتطور للأعراض المرضية و لحين انتهاء فترة التجربة. بعد مرور ستة اسابيع من التلقيح تم اختبار نباتات التجربة بواسطة اختبار تفاعل البلمرة المتسلسل.

مقارنتها بالنباتات غير المصابة بالفايروس (شكل 1). كما اظهرت نباتات الفلفل بعد مرور 13 يوما من التلقيح اعراض مرضية بهيئة تجعد واضح في الاوراق القيمية و مع استطالتها و بفارق ملحوظ عن النباتات غير المصابة بنفس الفايروس (شكل 1).

اثبت تفاعل البلمرة المتسلسل (PCR) وجود الفايروس TYLCV في النباتات المصابة، اذ تم مضاعفة حزمة من الحامض النووي الفايروسي و بالحجم المتوقع (634bp) و هذا

اجريت عملية التلقيح لنباتات الطماطة (ب عمر 3-2 اوراق حقيقة) بواسطة حشرات الذباب الابيض وفق الطريقة الموصوفة سابقا. كما نفذت معاملة مقارنة بتلقيح نباتات التراكيب الوراثية بواسطة حشرات الذباب الابيض غير الحاملة للفايروس. بعد رش النباتات بالمبيد اميغارد (Imidacloprid). نقلت جميع نباتات التجربة الى ظلة مصنوعة من قماش الململ ذات ابعاد 4×5×2.5 م لمنع دخول الحشرات. سقيت جميع النباتات بالماء و حسب الحاجة مع

#### النتائج و المناقشة

**تشخيص الفايروس باستعمال النباتات الكاشفة**  
بعد مرور 2-3 اسابيع من اجراء عملية تلقيح نباتات الطماطة (صنف Super Maremonde) بواسطة حشرة الذباب الابيضية الحاملة للفايروس، ظهرت اعراض مرضية بهيئة تجعد و اصفار الاوراق الحديثة النمو و التي تطورت فيما بعد الى اعراض تجعد شديد و اصفار شملت بقية اوراق النبات مع ملاحظة تقرم شديد في النباتات المصابة عند

المصابة بفايروس TYLCV اظهرت اعراض مرضية مشابهة للأعراض المرضية التي شوهدت على نباتات الطماطة المستعملة في هذه الدراسة. كما وجد العديد من الباحثين ان تلقيح نباتات الفلفل بفايروس تجعد واصفار او راق الطماطة اعطى اعراض مرضية مماثلة لذاك التي شوهدت في هذه الدراسة (4 و 7 و 8).

متقق مع حجم التتابع النبوي كلوتيدي المحصور بين المواقع التي صممت منها البوادئ الامامية و الخلفية (Forward and reverse primers) TYLCV في جينوم الفايروس (شكل 16). اتفقت هذه النتائج مع ما اشار اليه Kashina و اخرون (17)؛ Hanssen و اخرون (15)؛ المولى (3)؛ الجبوري (1) الى ان نباتات الطماطة صنف Super Maremonde

نبات غير مصاب بالفايروس (Non-infected plant)	نبات مصاب بالفايروس (TYLCV-infected plant)	النبات الكاشف
		طماطة (صنف سوبر ماريموند)
		فلفل

شكل 1: نباتات طماطة (صنف سوبر ماريموند) و فلفل مصابة و غير مصابة بفايروس تجعد و اصفار او راق الطماطة (TYLCV).

Figure 1: Tomato plants (Super Marine variety) and pepper infected and non-infected with TYLCV

الطماطة دون ظهور اي نوع من الاعراض المرضية حتى بعد مرور 35 يوما من التلقيح

كما اثبتت النتائج حساسية الفاصوليا و البامية للإصابة بفايروس تجعد و اصفار او راق

مع ما وجده حسن و اخرون، (5)؛ و Al-Ani و اخرون (9)؛ الفضل (2) الذين بينوا عدم ظهور اي اعراض مرضية عند استعمال نفس الانواع النباتية المستعملة في هذه الدراسة رغم اصابتها جهازيا.

(شكل 2). اثبت استخلاص الحامض النووي من اوراق النباتات المصابة و تعریضه الى اختبار تقاعل البلمرة المتسلسل (PCR) امكانية مضاعفة حزمة من الحامض النووي الفايروسى بحجم (634bp) (شكل 4). اتفقت هذه النتائج

نبات غير مصاب بالفايروس (Non-infected plant)	نبات مصاب بالفايروس (TYLCV-infected plant)	
		أ. ب.
		ج. د.

شكل 2 : نباتات فاصوليا و بامية مصابة بفايروس تجعد و اصفرار اوراق الطماطة (TYLCV) بدون ظهور اعراض مرضية (Symptomless infection).

Figure 2: Beans and okra plants show symptomless infection with TYLCV.

اصفرار اوراق الطماطة (شكل 5). لاحظ العديد من الباحثين عدم استجابة نباتات القطن، المنطاد، الزربيخ و البازنجان للإصابة بفايروس تجعد و اصفرار اوراق الطماطة معززين النتائج التي توصلت اليها هذه الدراسة (2 و 4 و 13).

كما اظهرت النتائج عدم استجابة نباتات القطن، المنطاد، الزربيخ و البازنجان للإصابة بفايروس، اذ لم يلاحظ ظهور اي اعراض مرضية حتى بعد مرور 35 يوما من التاقح بالفايروس (شكل 3). كما وجد ان اختبار النباتات الملقحة بواسطة تقاعل البلمرة المتسلسل (PCR) لم يعطي اي حزمة مضاعفة من الحامض النووي لفايروس تجعد و

نبات غير مصاب بالفايروس (Non-infected plant)	نبات مصاب بالفايروس (TYLCV-infected plant)	النبات الكاشف
		قطن
		منطاد
		زنجبيل

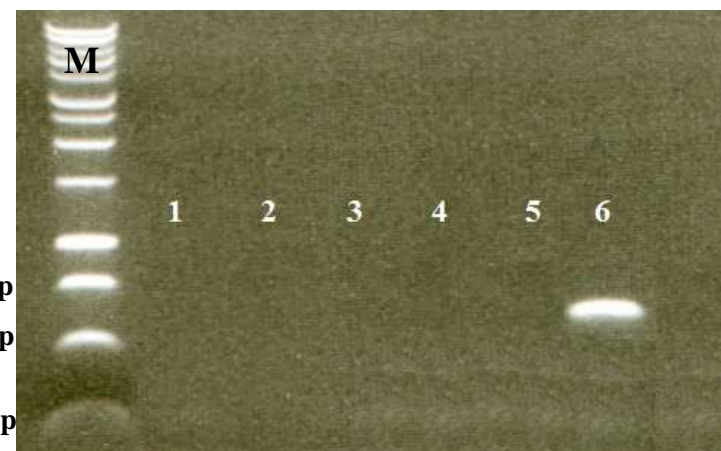
شكل 3: نباتات قطن و منطاد و زربيخ و باذنجان لم تستجيب للإصابة بفايروس تجعد و اصفرار اوراق الطماطة (TYLCV).

Figure 3: Cotton, airship, goosefoot, and eggplant plants did not respond for TYLCV infection.



شكل 4: اختبار تفاعل البلمرة المتسلسل (PCR) للنباتات الكاشفة المستعملة في تشخيص فايروس تجعد واصفار او راق الطماطة. M = 1Kbp DNA ladder marker, 1 و 2 = طماطة, 3 و 4 = فلفل, 5 و 6 = بامية, 7 و 8 = فاصوليا, 9 =Positive PCR control و 10 = Negative PCR control.

Figure 4: Testing indicator plants used for identifying TYLCV by polymerase chain reaction (PCR). M = 1Kp DNA ladder marker, 1 and 2 = tomato, 3 and 4 = pepper, 5 6 = okra, 7 and 8 = beans, 9 = positive PCR control and 10 = .Negative PCR control



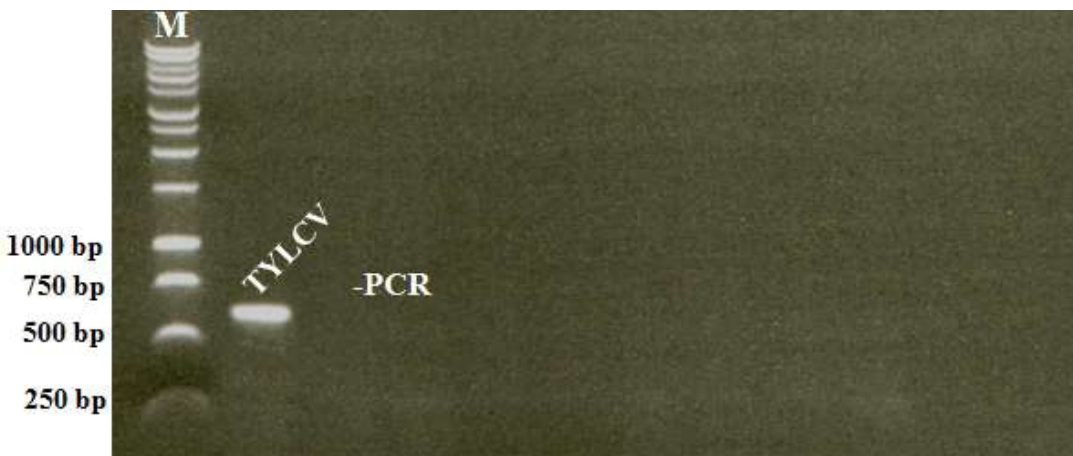
شكل 5: اختبار تفاعل البلمرة المتسلسل (PCR) للنباتات الكاشفة المستعملة في تشخيص فايروس تجعد واصفار او راق الطماطة. M = 1Kbp DNA ladder marker, 1 = قطن, 2 = مناطق, 3 = زرريخ, 4 = اذنجان, 5 = Negative PCR control و 6 = Positive PCR control.

Figure 5: Testing indicator plants used for identifying TYLCV by polymerase chain reaction (PCR). M = 1Kp DNA ladder marker, 1 = cotton, 2 = eggplant, 3 = goosefoot, 4 = airship, 5 = Negative PCR control and 6 = Positive PCR control.

(PCR) المتسلسل امكانية مضاعفة حزمة من الحامض النووي الفايرولي بالحجم المتوقع (634bp) و باستخدام زوج البادئات الموصوف في المواد و طرائق العمل (شكل 6).

**تشخيص الفايروس بـ PCR**

أثبتت النتائج بعد استخلاص الحامض النووي (DNA) من عينات جمعت من نباتات طماطة مصابة و اختبارها بواسطة تفاعل البلمرة (PCR) المتسلسل.



شكل 6: ناتج الحامض النووي (DNA) المضاعف بواسطة تفاعل البلمرة المتسلسل (PCR) من فيالروس تجدد و اصفرار اوراق الطماطة (TYLCV) من عينة طماطة مأخوذة من احدى المزارع الصحراوية في محافظة كربلاء. Negative =-PCR ; 1Kbp DNA ladder marker =M control (بدون عينة DNA مضافة).

Figure 6: PCR product amplified by PCR from TLCV from a tomato sample collected from a farm in the desert area of Karbala governorate. M = 1Kp .DNA ladder marker; -PCR = Negative PCR control (no DNA sample added  
البلمرة المتسلسل (PCR) الى

شركة Macrogen الكورية لمعرفة التتابع النيوكلوتيدي (شكل 7). اظهرت نتائج تحليل التتابع النيوكلوتيدي باستخدام برنامج BLAST بأن الفايروس المعزول في هذه الدراسة هو فايروس تجعد و اصفرار اوراق الطماطة (TYLCV).

تحليل التسلسل النيوكلوتيدي للحمض النووي (Nucleotide sequence analysis) لعزلة فايروس تجدد و اصفار او راق الطماطة (TYLCV) تم ارسال حزمة الحامض النووي (Amplicon) المضاعفة بواسطة تفاعل

TYLCV-IRAQ	TACTTTACA AAATTACCTA AATGCCATTG GGTGTCCAGG TATAAGTAAG	.... ..... ..... ..... ..... ..... .....  10      20      30      40      50 .... ..... ..... ..... ..... ..... .....  60      70      80      90      100
------------	--	---

TYLCV-IRAQ ACACCGATAC ACCGATTGCC ATAGAGCTTT  
 GAGAGACACC GATTCAATTTC  
 .....|.....|.....|.....|.....|.....|.....|  
 110 120 130 140 150  
 TYLCV-IRAQ ACCATGCCTC GTCTATTAA AATATATGCC  
 AAAAATTATT TCCTGACTTA  
 .....|.....|.....|.....|.....|.....|.....|  
 160 170 180 190 200  
 TYLCV-IRAQ TCCCAATTGT TCTCTCTCTA AAGAGGAAGC  
 ACTTTCCCAA TTAAAAAAACC  
 .....|.....|.....|.....|.....|.....|.....|  
 210 220 230 240 250  
 TYLCV-IRAQ TAGAAACCCC AACAAATAAA AAATACATCA  
 AAGTTGCAG AGAATTCCAC  
 .....|.....|.....|.....|.....|.....|.....|  
 260 270 280 290 300  
 TYLCV-IRAQ GAGAATGGGG AACACACATCT CCATGTGCTT  
 ATCCAATTCTG AAGGAAAATA  
 .....|.....|.....|.....|.....|.....|.....|  
 310 320 330 340 350  
 TYLCV-IRAQ CCAATGTAAG AACCAACGGT TCTTCGACCT  
 GGTATCCCCAACAGATCAG  
 .....|.....|.....|.....|.....|.....|. .  
 360 370 380 390      TYLCV-IRAQ  
 CACATTCCA TCCGAACATT CAGGCAGCTA AGAGCTAAC A

شكل 7: تتابع القواعد النايتروجينية (Nucleotide sequence) لسلالة فايروس تجعد و اصفرار اوراق الطماطة (TYLCV) المعزلة في هذه الدراسة من احد المزارع الصحراوية في محافظة كربلاء.

Figure 7: Nucleotide sequencing of the TYLCV strain isolated in this study from a farm in the desert area of Karbala governorate

كما وجد من خلال مقارنة التتابع النيوكليوتidi لهذه السلالة مع التتابعات النيوكليوتidi لسلالات نفس الفايروس الموجودة في قاعدة البيانات المتوفرة في المركز الوطني لمعلومات التقنية الحيوية (NCBI) ان نسبة التشابه مع السلالات الاخرى العائدة لنفس الفايروس تراوحت بين 93-100% و كان اکثرها تشابها مع سلالتي الفايروس العراقي (GenBank accession numbers: KT961706.1 and EU834064.1) و كان اکثرها تبايناً وراثياً (93%) عن العزلات الايرانية (JQ928345.1).

Figure 7: Nucleotide sequencing of the TYLCV strain isolated in this study from a farm in the desert area of Karbala governorate

كما وجد من خلال مقارنة التتابع النيوكليوتidi لهذه السلالة مع التتابعات النيوكليوتidi لسلالات نفس الفايروس الموجودة في قاعدة البيانات المتوفرة في المركز الوطني لمعلومات التقنية الحيوية (NCBI) ان نسبة التشابه مع السلالات الاخرى العائدة لنفس الفايروس تراوحت بين 93-100% و كان اکثرها تشابها مع سلالتي الفايروس العراقي (GenBank accession numbers: KT961706.1 and EU834064.1) و كان اکثرها تبايناً وراثياً (93%) عن العزلات الايرانية (JQ928345.1).

جدول ٤: مقارنة بين نسب التشابه النيوكلوتيدي للجينات C1 و C4 من فيروس تجعد و اصفرار اوراق الطماطة المعزول في هذه الدراسة و العزلات الاخرى لنفس الفايروس المسجلة عالمياً.

Table 4: Comparison between the nucleotide similarity percentages of the genes C1 and C4 of TYLCV, isolated in this study, with the other TYLCV isolates globally registered in NCBI.

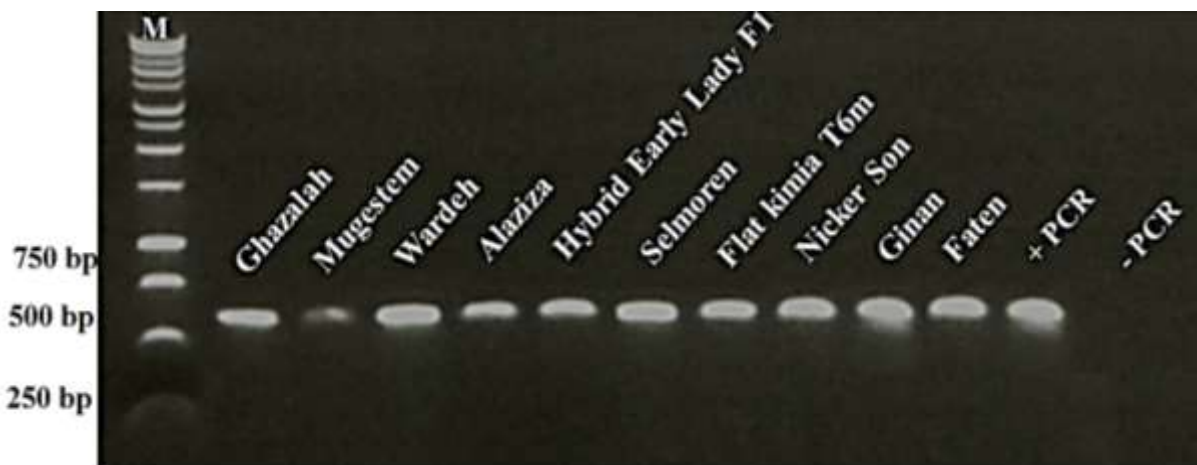
Virus	Isolate name	Origin	The most similar sequences in GenBank database	
			GenBank Accession Number	Sequence similarity (%)
<i>Tomato yellow leaf curl virus</i>	A1MA	Iraq	<a href="#">KT961706.1</a>	100
<i>Tomato yellow leaf curl virus</i>	A5MA	Iraq	<a href="#">KT961705.1</a>	100
<i>Tomato yellow leaf curl virus</i>	A3MA	Iraq	<a href="#">KT961704.1</a>	99
<i>Tomato yellow leaf curl virus</i>	-	Jordan	<a href="#">EU143755.1</a>	98
<i>Tomato yellow leaf curl virus</i>	Sinaloa	Mexico	<a href="#">FJ012359.1</a>	98
<i>Tomato yellow leaf curl virus</i>	3256-1	Spain	<a href="#">DQ058082.1</a>	98
<i>Tomato yellow leaf curl virus</i>	ES:T188:0 3	Spain	<a href="#">DQ317771.1</a>	98
<i>Tomato yellow leaf curl virus</i>	ES:T341:0 3	Spain	DQ317749.1	98
<i>Tomato yellow leaf curl virus</i>	186-Kermansha h	Iran	<a href="#">JQ928340.1</a>	97
<i>Tomato yellow leaf curl virus</i>	-	USA	<a href="#">AF260331.1</a>	97
<i>Tomato yellow leaf curl virus</i>	AN152	Sanderso n	<a href="#">GU320571.1</a>	97
<i>Tomato yellow leaf curl virus</i>	2	Lebanon	DQ999997.1	97
<i>Tomato yellow leaf curl virus</i>	-	Jordan	<a href="#">EU143751.1</a>	96
<i>Tomato yellow leaf curl virus</i>	-	USA:	AF260331.1	96
<i>Tomato yellow leaf curl virus</i>	AN152	Antigua and Barbud	GU320571.1	96
<i>Tomato yellow leaf curl</i>	-	Jordan	EU143751.1	95

<i>virus</i>					
<i>Tomato yellow leaf curl virus</i>	-	Egypt	DQ423476.1	95	
<i>Tomato yellow leaf curl virus</i>	-	Iran	JQ928345.1	93	
<i>Tomato yellow leaf curl virus</i>	BA	Iran	EU834059.1	93	
<i>Tomato yellow leaf curl virus</i>	Sh	Iran	EU834064.1	93	

استجابة بعض التراكيب الوراثية لنبات الطماطة ضد فايروس تجدد و اصفرار اوراق الطماطة  
(TYLCV)

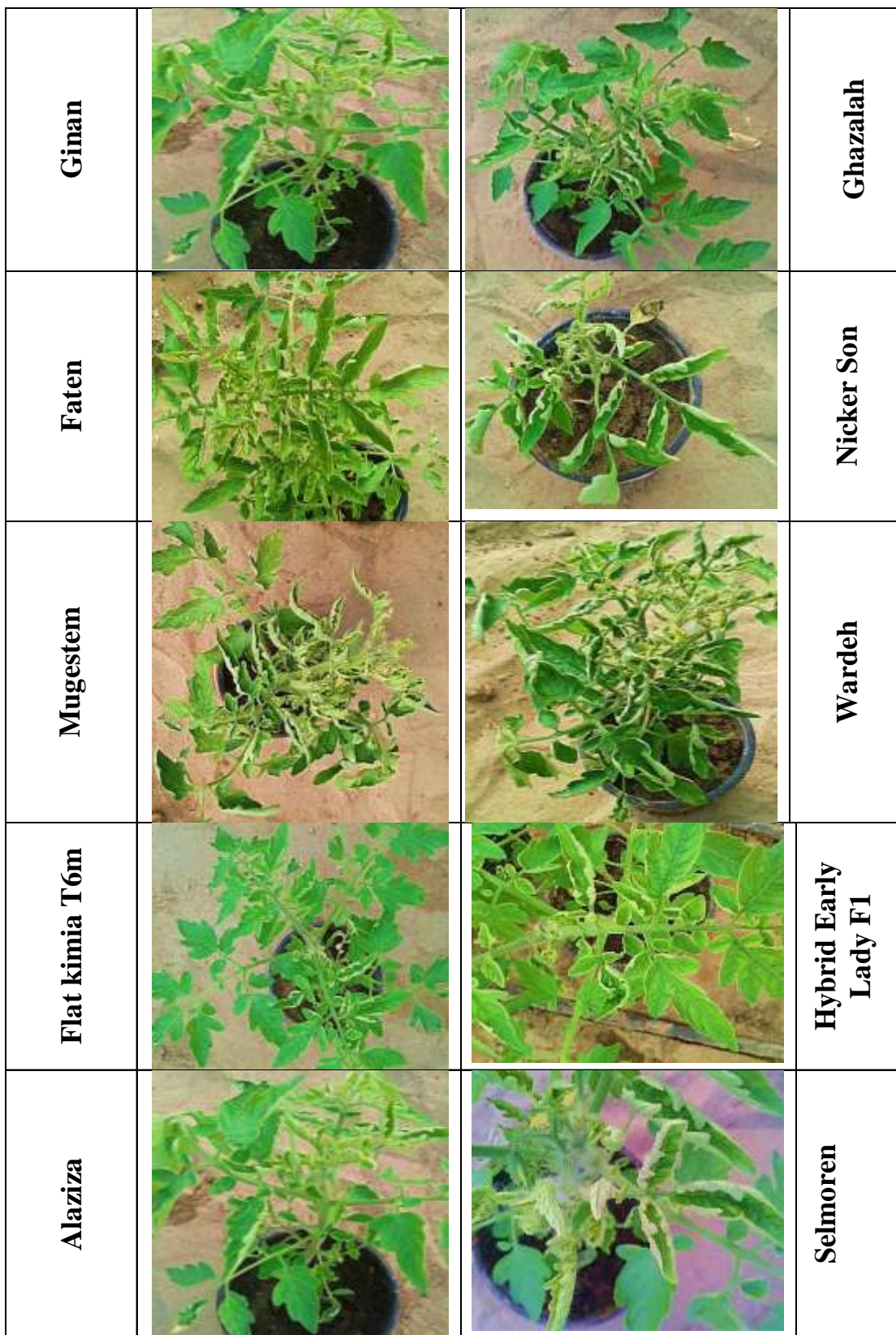
الطماطة (TYLCV), اذ اعطت جميع النباتات الملقحة اعراض مرضية واضحة (شكل 9) و مرتبطة بوجود فايروس تجدد و اصفرار اوراق الطماطة الذي تم اثبات وجوده بواسطة اختبار تفاعل البلمرة المتسلسل (PCR) (شكل 8).

اظهرت النتائج حساسية جميع التراكيب الوراثية (Ginan و Nicker Son و Hybrid Early Lady F1 و Mugestem و Flat kimia و T6m و Alaziza و Faten و Ghazalah و Wardeh و Selmoren) لفايروس تجدد و اصفرار اوراق



شكل 8: نواتج الحامض النووي (DNA) الفايروسي المضاعفة بواسطة تفاعل البلمرة المتسلسل (PCR) من جميع التراكيب الوراثية لنبات الطماطة المختبرة ضد فايروس تجدد و اصفرار اوراق الطماطة .Negative PCR control :-PCR ;Positive PCR control :+PCR .(TYLCV)  
..1kp DNA ladder marker :M

Figure 8: PCR products amplified by polymerase chain reaction (PCR) from all tomato genotypes tested against TYLCV. + PCR: Positive PCR control; - PCR: Negative PCR control. M: 1kb DNA ladder marker



شكل 9: الاعراض المرضية المتنسبية عن فيروس تجعد و اصفرار اوراق الطماطة (TYLCV) في التراكيب الوراثية لنباتات الطماطة المختبرة في هذه الدراسة.

## المصادر

- Tomato yellow leaf curl virus-EG.* Emir. *Journal of Food Agriculture* 23(4):355-367.
- 8- Ajlan A. M., Ghanem G. M. and Abdul Salam K. (2007) *Tomato yellow leaf curl virus (TYLCV)* in Saudi Arabia: Identification, partial characterization and virus-vector relationship. *Arab Journal of Biotechnology* 10(1):179-192.
- 9- Al-Ani R. A., Abhab M. A., Hamad S. A. H. and Diwan S. N. H. (2011) *Tomato yellow leaf curl virus (TYLCV)* identification, virus vector relationship, strains characterization and a suggestion for its control with plant extracts in iraq. *African Journal of Agricultural Research* 6(22): 5155-5155.
- 10- Al-Kuwaiti N., Otto B., Collins C., Seal S. and Maruthi M. (2013) Molecular characterization and first complete genome sequence of *Tomato yellow leaf curl virus (TYLCV)* infecting tomato in Iraq. *New disease reports* 27: 17.
- 11- Camara M., Mbaye A. A., Noba K., Samb P. I., Diao S. and Cilas C. (2013) Field screening of tomato genotypes for resistance to *Tomato yellow leaf curl virus (TYLCV)* disease in Senegal. *Crop protection* 44: 59-65.
- 12- Christopher D. J., Raj T. S., Rani S. U. and Udhayakumar R. (2010) Role of defense enzymes activity in tomato as induced by *Trichoderma virens* against *Fusarium* wilt caused by *Fusarium*
- الجبوري, عفاف اركان عليوي (2014) 1- تشخيص جزيئي لفايروس تجعد واصفار TYLCV او راق الطماطة ( ) باستخدام تقنية PCR مع برنامج تفاعل بلمرة المتسلسل ( ) وقائي من الاصابة بالفايروس. رسالة ماجستير, كلية الزراعة, جامعة الكوفة.
- الفضل, فضل عبد الحسين (2012) 2- الخصائص الباليوجية والمصلية لفايروس تجعد واصفار اوراق الطماطة. مجلة جامعة الكوفة لعلوم الحياة. المجلد 4 العدد 2 : 139-145.
- المولى, عبد الكريم قاسم جبر (2013) 3- استخدام الطرائق الحيوية والجزئية وتحليل التتابع الجيني في دراسة فايروس تجعد TYLCV واصفار اوراق الطماطة ( ) في العراق وسبل مكافحته. اطروحة دكتوراه, كلية التربية, جامعة البصرة.
- الوائلي, مهند عبد الرضا خلف (2006) 4- دراسة تشخيصية باستخدام طرق سيريولوجية وحيوية لفايروس تجعد واصفار اوراق الطماطة وامكانية مكافحة الناقل احيائيا. رسالة ماجستير, كلية الزراعة, جامعة البصرة.
- حسن, زياد محمود و عماد داود اسماعيل و 5- صلاح الشعبي (2011) التحري عن العوائل البرية المخزنة لفايروس تجعد واصفار اوراق البندورة في الساحل السوري. مجلة جامعة تشرين للبحوث والدراسات العلمية. سلسلة العلوم البيولوجية. المجلد 33 العدد 5 : 189-200.
- شفيق, حسين لطيف (1983) دراسات على 6- تشخيص ومقاومة فايروس تجعد واصفار اوراق الطماطة في البيوت البلاستيكية. رسالة ماجستير, كلية الزراعة, جامعة بغداد.
- 7- Abd El-monem A. F., El-Dougoug Kh. A., Ibtisam A., Ahmed H. E. A. and Abd El-Kader H. S. (2011) Identification and molecular characterization of

- resistance in insect pests or vectors and development of novel strategies to combat its evolution. *International Journal of Bioinformatics and Biomedical Engineering* 1(3): 344-351.
- 19- **Pakkianathan B. C., Kontsedalov S., Lebedev G., Mahadav A., Zeidan M., Czosnek H. and Ghanim M.** (2015) Replication of *Tomato yellow leaf curl virus* in its whitefly vector *Bemisia tabaci*. *Journal of Virology* 15: 1-12.
- 20- Prasanna H. C., Sinha D. P., Rai G. K., Krishna R., Kashyap S. P., Singh N. K., Singh M. and Malathi V. G. (2015) Pyramiding *Ty-2* and *Ty-3* genes for resistance to monopartite and bipartite *Tomato yellow leaf curl viruses* of India. *Plant Pathology* 64(2): 256– 264.
- 21- Salati, R., Nahkla M., Rojas M., Guzman P., Maxwell D. and Gilbertson R. (2002) *Tomato yellow leaf curl virus* in the Dominican Republic: Characterization of an infection clone, virus monitoring in whiteflies, and identification of reservoir hosts. *Phytopathology* 92: 487- 496.
- 22- Zheng L., Campbell M., Murray J., Lam S. and Xu J. R. (2000) The *BMP1* gene is essential for pathogenicity in the gray mold fungus *Botrytis cinerea*. *Molecular of Plant-Microbe Interact* 13: 724- 732
- oxysporum f sp. lycopersici. Journal of Biopesticides* 3(1): 158- 162.
- 13- El-Doughoug N. K., Mahfouze S. A., Ahmed S. A., Othman B. A. and Hazaa M. M. (2014) Characterization, nucleotide sequencing of *Tomato yellow leaf curl virus egyption isolae*. *Science of Agriculture* 7(2): 58-69.
- 14- Giovanni C.D., Orco P.D., Bruno A., Ciccarese F., Lotti C. and Ricciardi L. (2004) Identification of PCR-based markers (RAPD, AFLP) linked to a novel powdery mildew resistance gene (*ol-2*) in tomato. *Plant Science* 166: 41-48.
- 15- Hanssen I. M., Lapidot M. and Thomma B. P. H. J. (2010) Emerging viral diseases of tomato crops. *Molecular Plant-Microbe Interactions* 23(5): 539-548.
- 16- Henson J. M. and French R. (1993) The Polymerase chain reaction and plant disease diagnosis. *Annual Review of Phytopathology* 31: 81-109.
- <http://users.ugent.be/~avierstr/principles/pcr.html>. [Accessed on 11 August 2015]
- 17- Kashina B. D., Mabagala R. B. and Mpunami A. A. (2004) Analysis of the variability of Tomato yellow leaf curl disease isolates from Tanzania using RFLPs and sequence data. In: 4th International *Geminivirus* Symposium, Cape Town, RSA: 16/12 W11b-16.
- 18- Muhammad S., Keith, D., Muhammad S. (2015) Insecticides

